

Graduate Degree Program of Artificial Intelligence,  
National Yang Ming Chiao Tung University.

## Digital Communication Integrated Circuits - Final Project

### Low Latency Scaling-Free Pipeline CORDIC

313505012 人工智慧碩一 洪丞玄

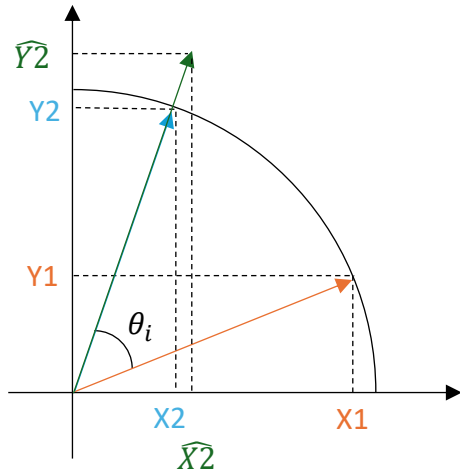
[Github of my Project](#)

# Table of Contents

1. Introduction.....	1
2. Proposed Algorithm.....	2
➤ Background.....	2
➤ Architecture.....	3
➤ Datapath.....	4
3. ASIC Implementation.....	9
➤ Simulation.....	9
➤ Timing&Power&Area.....	10
4. FPGA Implementation	
➤ Simulation.....	11
➤ Timing&Power&Area.....	12
5. Conclusion.....	15
6. Reference.....	16

# 1. Introduction

CORDIC 是一種計算三角、雙曲或其他函數的有效方法，基本原理是利用預定義的基本角度(使用 ROM)組成目標角度，因為只需要 adder 和 shifter，所以利於硬體設計。本文將應用此演算法在直角座標轉換極座標。



在理解 CORDIC 前，先來探討旋轉公式。  
假設從 X 旋轉到 Y

$$\begin{bmatrix} Y2 \\ X2 \end{bmatrix} = \begin{bmatrix} \cos\theta_i & -\sin\theta_i \\ \sin\theta_i & \cos\theta_i \end{bmatrix} \begin{bmatrix} Y1 \\ X1 \end{bmatrix}$$

$$= \cos\theta_i \begin{bmatrix} 1 & -\tan\theta_i \\ \tan\theta_i & 1 \end{bmatrix} \begin{bmatrix} Y1 \\ X1 \end{bmatrix}$$

假設固定旋轉倍率， $\tan\theta_i = 2^{-i}$ ，並忽略  $\cos\theta_i$ ，即可得偽長度

$$\begin{bmatrix} \widehat{Y2} \\ \widehat{X2} \end{bmatrix} = \begin{bmatrix} 1 & -2^{-i} \\ 2^{-i} & 1 \end{bmatrix} \begin{bmatrix} Y1 \\ X1 \end{bmatrix}$$

$$\hat{\theta} = \theta_i - \mu_i \tan^{-1}(2^{-i})$$

因此，可以利用此法從某一位置逐步旋轉到 X 軸，過程只需除以 2，對應硬體為移位，不需消耗資源，累積的  $\theta_i$  即為與 X 軸的夾角，最後只需要將長度補償回來即可得到原長和角度。

i	$2^i$	rotate angle	scaling factor	CORDIC gain
0	1.0	45.000°	1.41421	1.41421
1	0.5	26.565°	1.11803	1.58114
2	0.25	14.036°	1.03078	1.62980
3	0.125	7.125°	1.00778	1.64248
4	0.0625	3.576°	1.00195	1.64569
5	0.03125	1.790°	1.00049	1.64649
6	0.015625	0.895°	1.00012	1.64669

可藉由上述旋轉角度累積轉到任意  $-99^\circ \sim 99^\circ$ ，誤差可自己來決定轉到多小的角度，所以只要在一開始將所有角度旋轉到第一或第四象限，並將起始角度設定成相對應  $\pm 90^\circ$  or  $0^\circ$ ，即可抵達目的地。最後靠加法和移位即可除以 1.6 補償回原長。

$$\prod_{i=0}^{\infty} \frac{1}{\cos\theta_i} = \prod_{i=0}^{\infty} \sqrt{1 + 2^{-2i}} = 1.6468 \dots$$

## 2. Proposed Algorithm

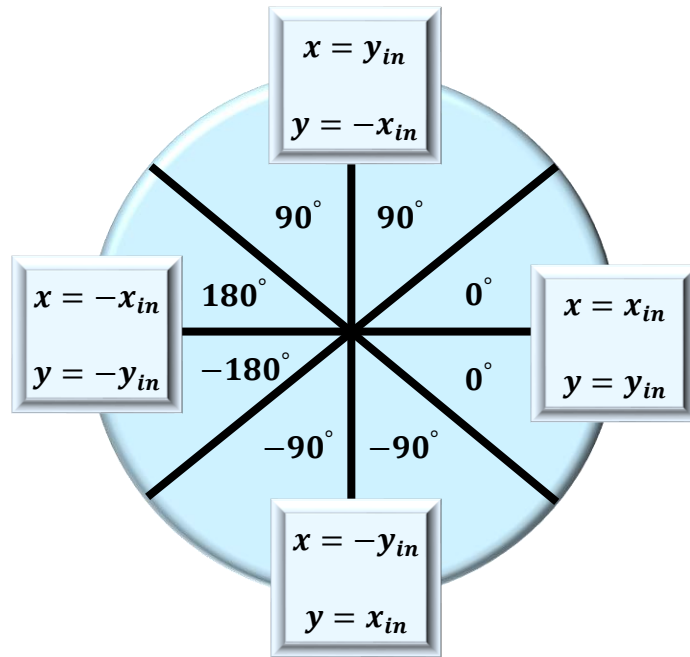
由於 CORDIC 較省計算資源，且需要較大的 latency，假設要不失去太多精度，又會增加不少硬體資源。因此，在本文使用小角度近似的性質減少 latency 的同時又不會失去太多精度，最後的角度藉由判斷是否跨過 X 軸旋轉來微調。

因為小角度近似  $\sin\theta_i \cong \tan\theta_i = 2^{-i}$ ， $\cos\theta_i \cong 1 - 2^{-(2i+1)}$

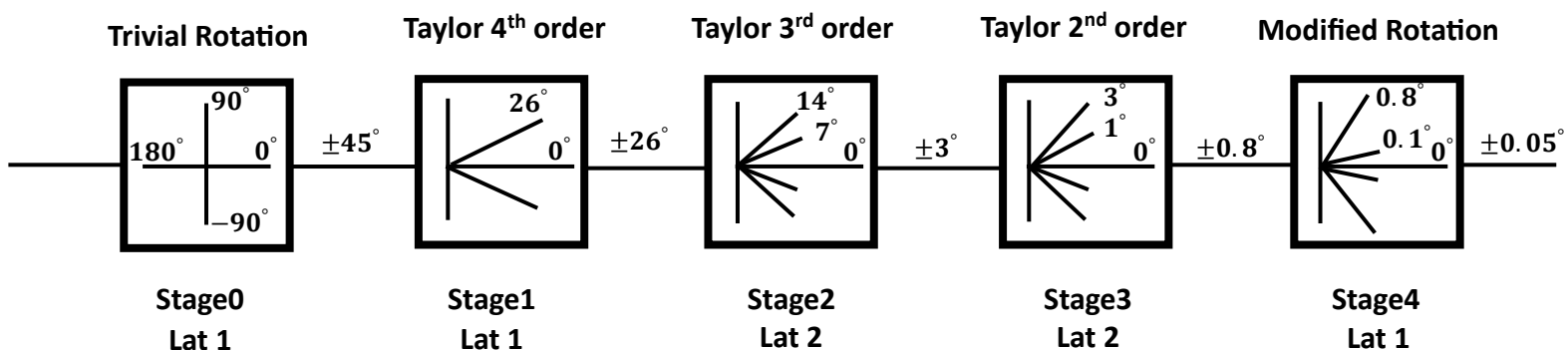
可將旋轉公式以特定階數泰勒展開，以下為 3 階簡略版，係數與原式有差

$$\begin{bmatrix} Y2 \\ X2 \end{bmatrix} = \begin{bmatrix} \cos\theta_i & -\sin\theta_i \\ \sin\theta_i & \cos\theta_i \end{bmatrix} \begin{bmatrix} Y1 \\ X1 \end{bmatrix} = \begin{bmatrix} 1 - 2^{-(2i+1)} & -(2^{-i} - 2^{-(3i+3)}) \\ 2^{-i} - 2^{-(3i+3)} & 1 - 2^{-(2i+1)} \end{bmatrix} \begin{bmatrix} Y1 \\ X1 \end{bmatrix}$$

藉由此法，就不需要補償長度，但是旋轉角度越大，需要越高階數才能近似，會增加不少硬體資源，所以我們不只旋轉到第一或第四象限，直接將範圍限縮至  $\pm 45^\circ$ ，如此一來可忽略  $45^\circ$  的旋轉，不只 latency 少一級，還能省去加法器和暫存器等資源。



上圖為指定角度範圍對應的起始角度，這樣便可以將所有角度先旋轉到  $\pm 45^\circ$  範圍內，查找表的角度從  $26^\circ$  開始，之後再配合泰勒展開，便可以極大程度地減少硬體資源並減少 latency。



上圖為該演算法架構:

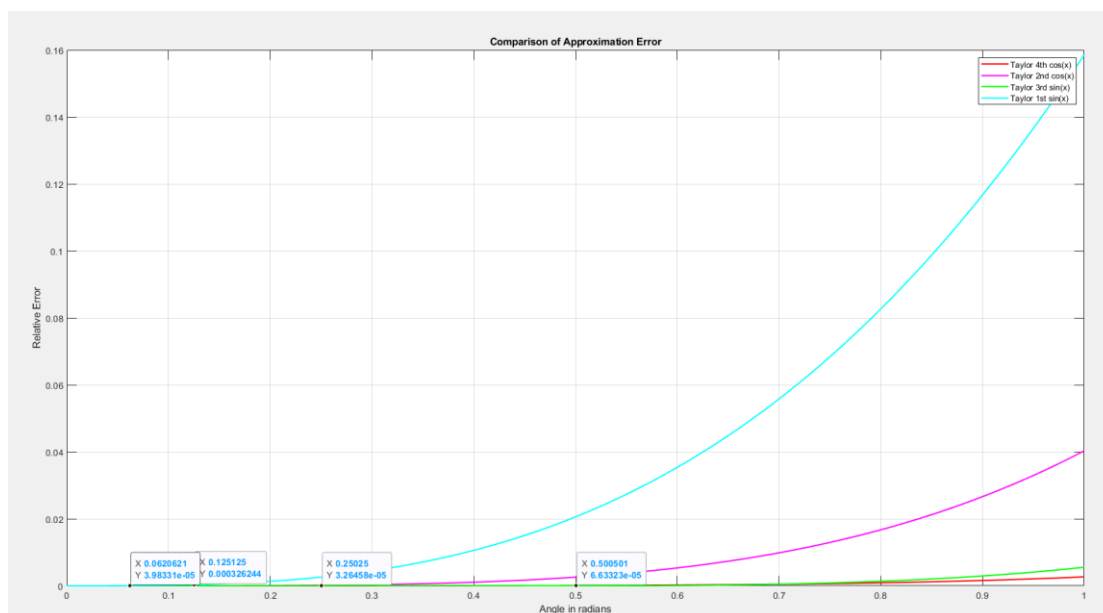
**Stage0:** 判斷  $X, Y$  座標以及絕對值大小關係來決定起始角度，轉 1 次。

**Stage1:** 對  $\cos\theta, \sin\theta$  做 4 階泰勒展開，誤差到小數點 5<sup>th</sup> bit 以下，轉 1 次。

**Stage2:** 對  $\cos\theta, \sin\theta$  做 3 階泰勒展開，誤差到小數點 5<sup>th</sup> bit 以下，轉 2 次。

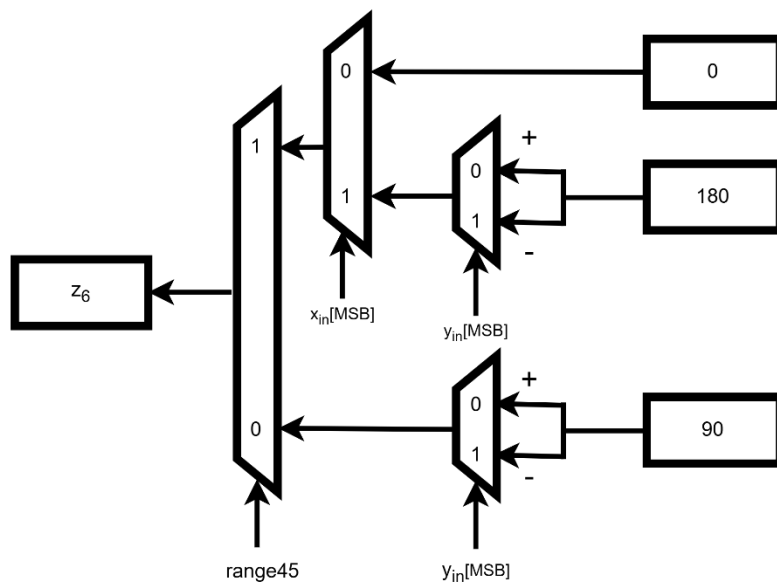
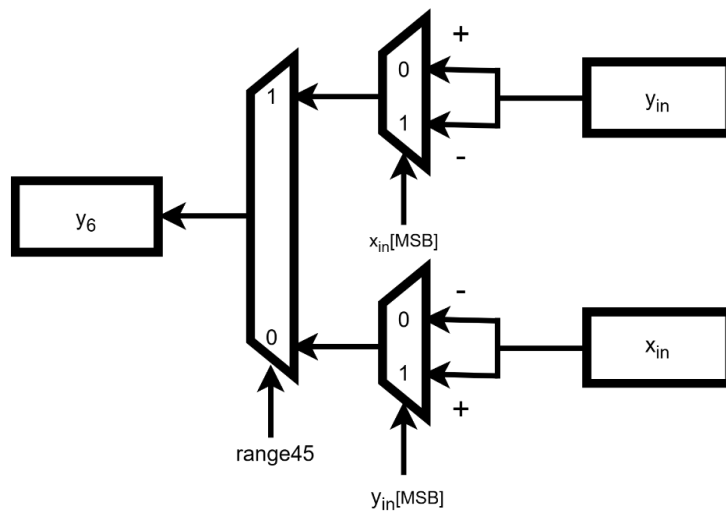
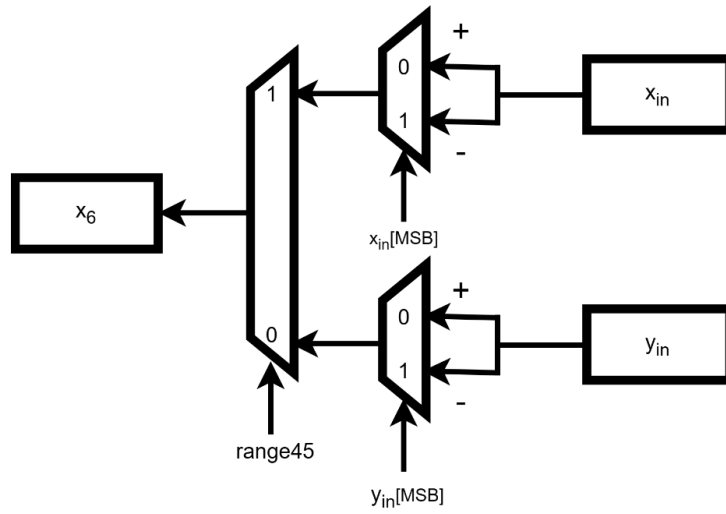
**Stage3:** 對  $\cos\theta, \sin\theta$  做 2 階泰勒展開，誤差到小數點 5<sup>th</sup> bit 以下，轉 2 次。

**Stage4:** 對  $\cos\theta, \sin\theta$  做 1 階泰勒展開，誤差到小數點 10<sup>th</sup> bit 以下，藉由  $Y$  值更新前後的  $\text{sign}$  以及絕對值大小判斷，如果該次旋轉跨過  $X$  軸且與  $X$  軸距離較短，大幅旋轉  $0.8^\circ$ ，否則小幅旋轉  $0.1^\circ$ ，轉 1 次。此階段優化在長度越小的情況下效果更顯著。

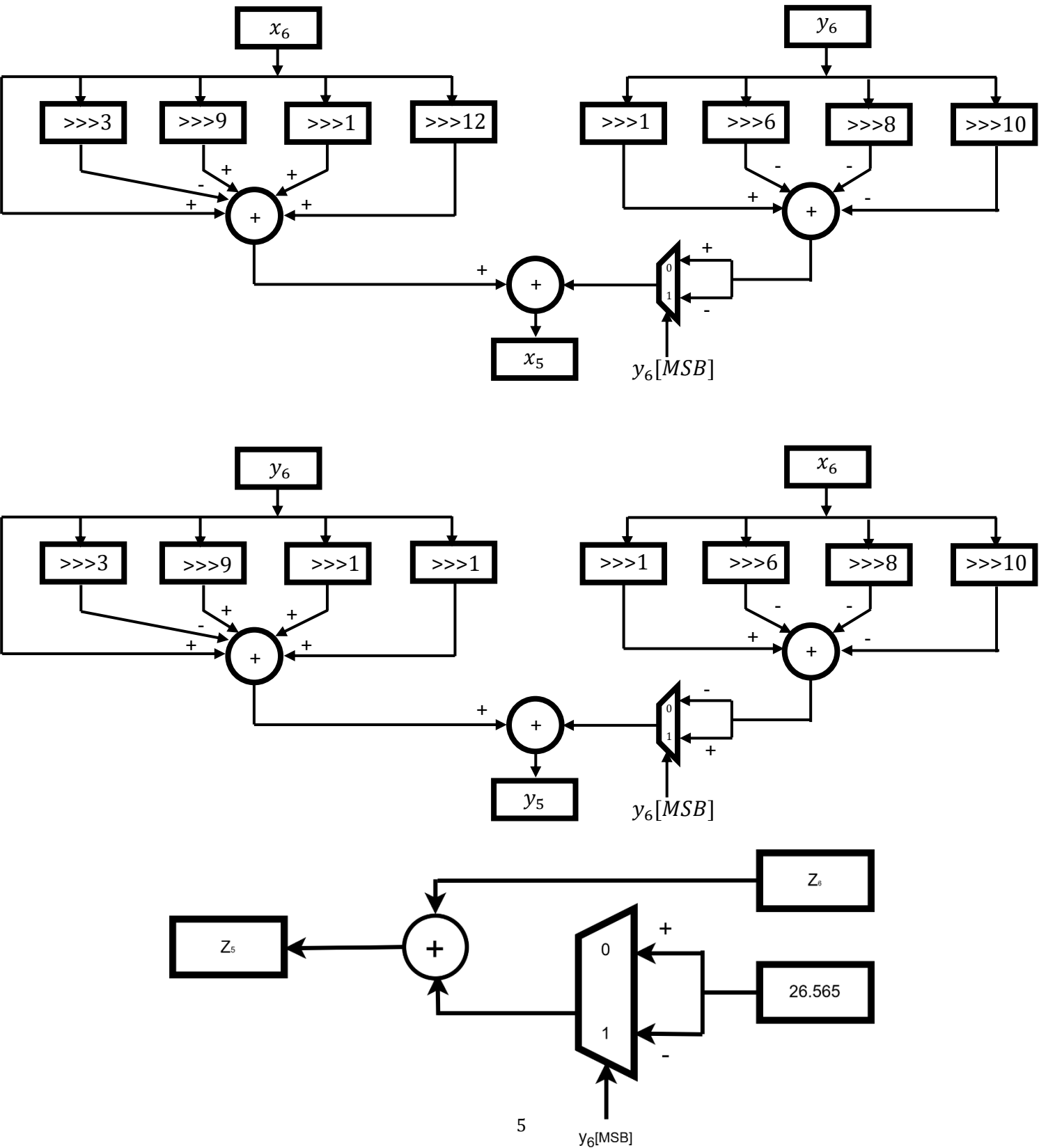


上圖為 MATLAB 模擬小角度近似在不同階數展開的誤差

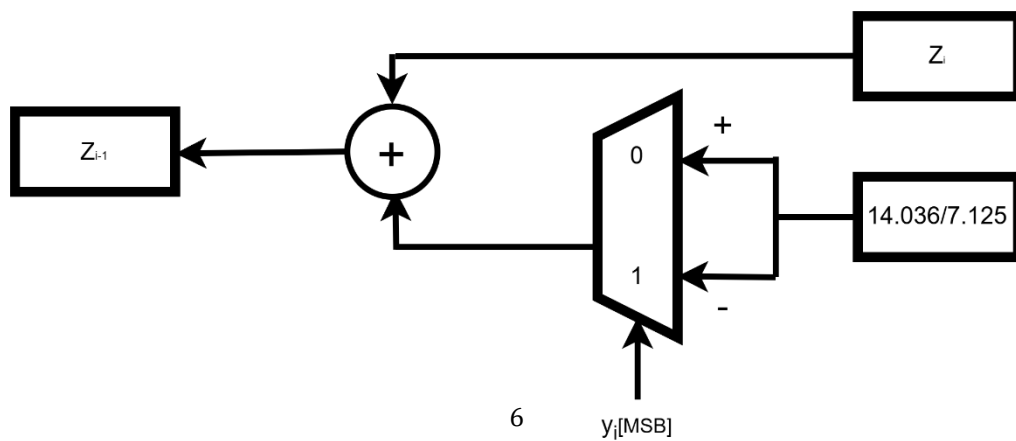
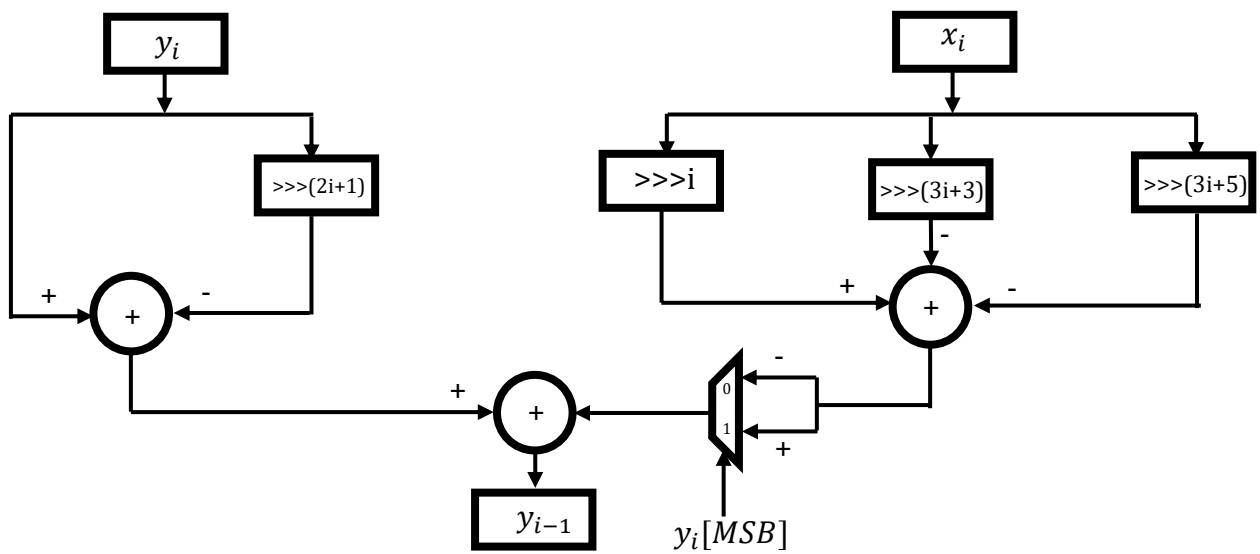
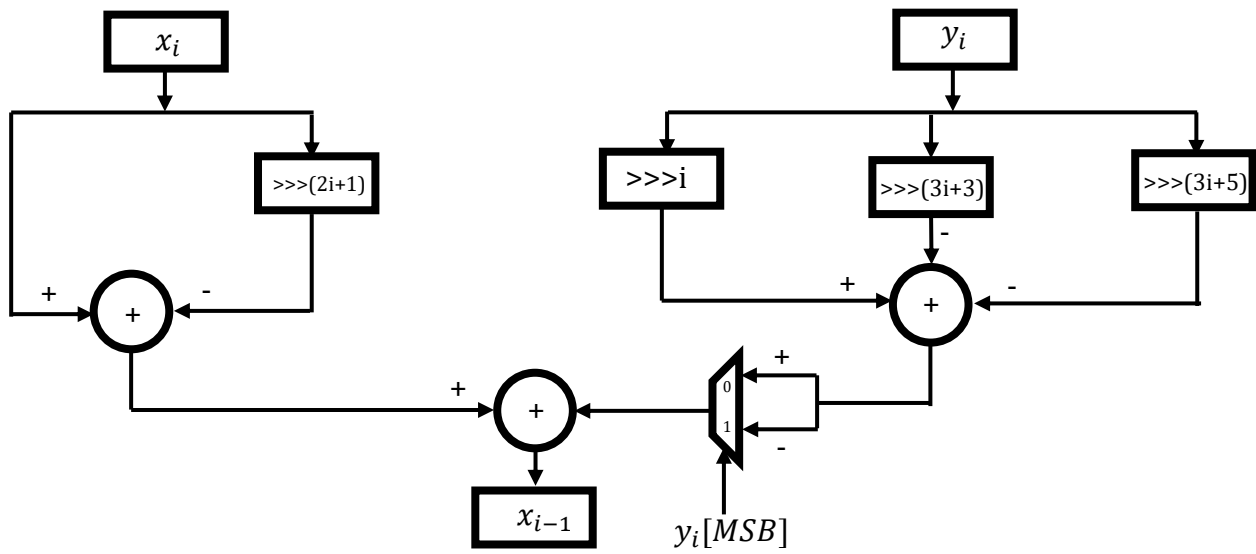
## Stage0 Datapath



Stage1 Datapath

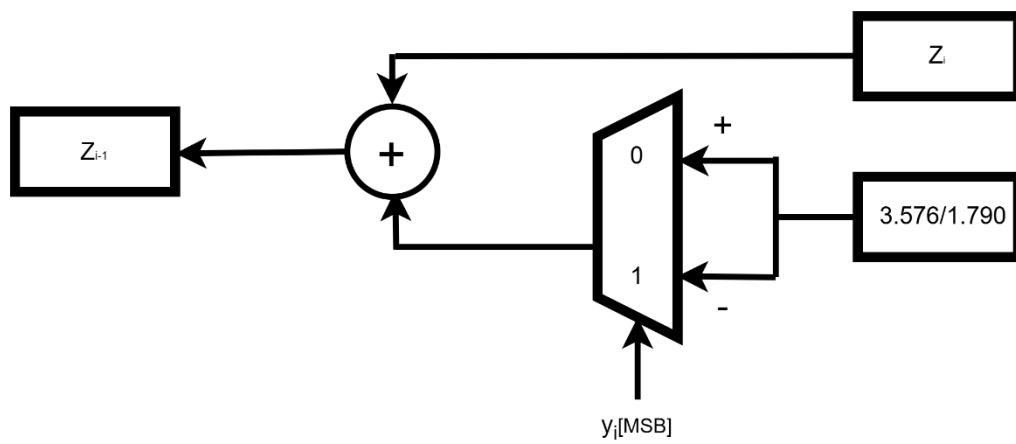
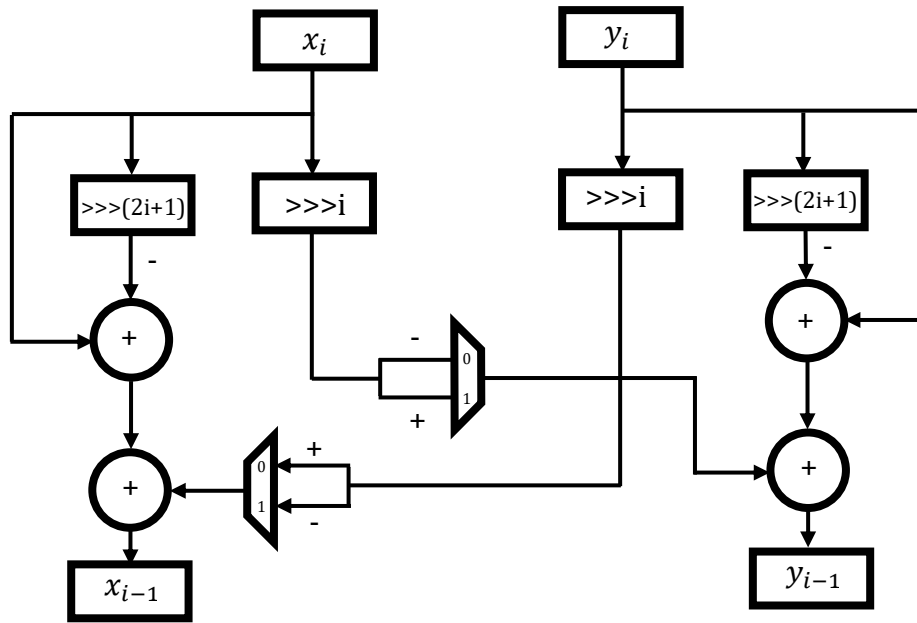


## Stage2 Datapath(i=5,4)

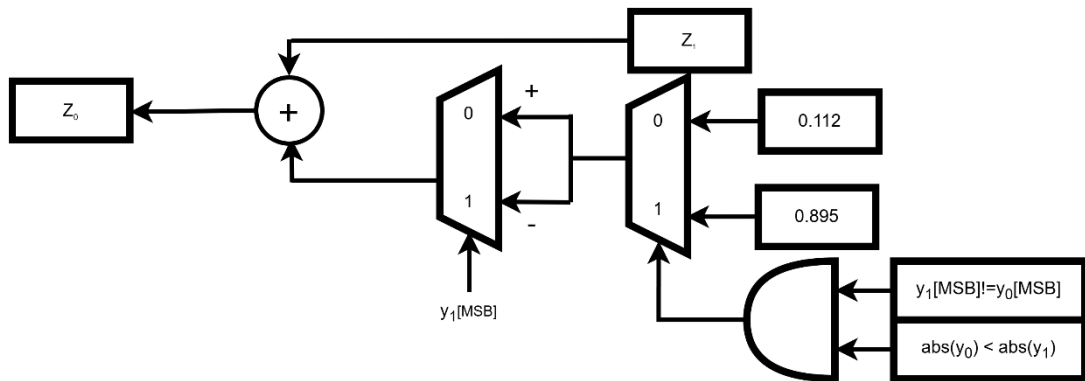
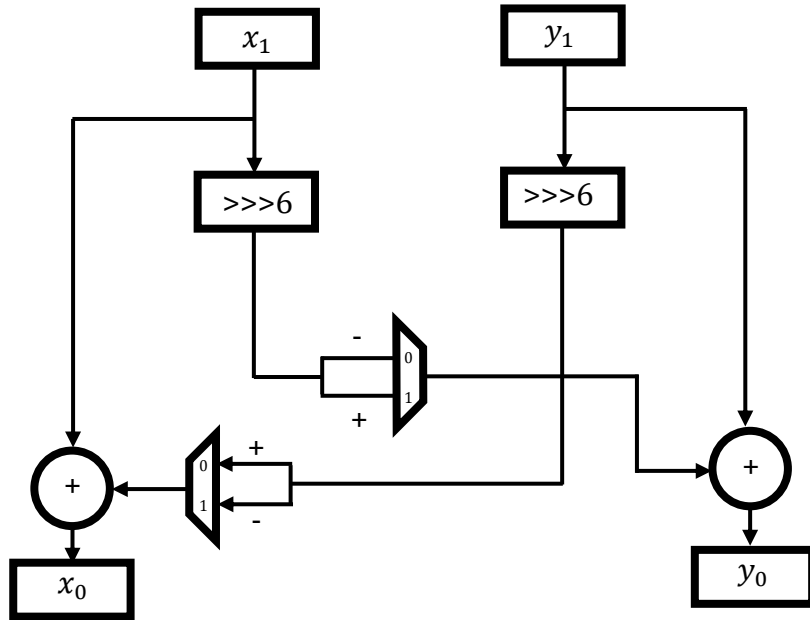




### Stage3 Datapath(i=3,2)



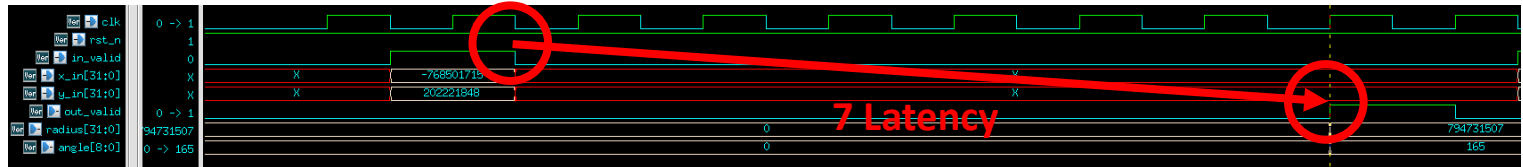
## Stage4 Datapath



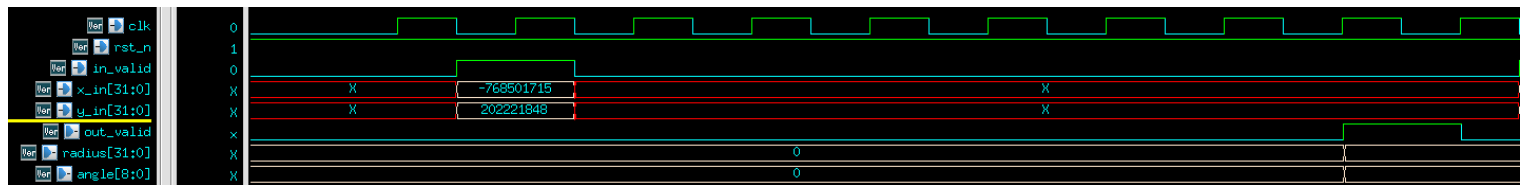
### 3. ASIC Implementation(UMC 180nm)

#### Simulation (Taylor CORDIC V.S. CORDIC)

RTL

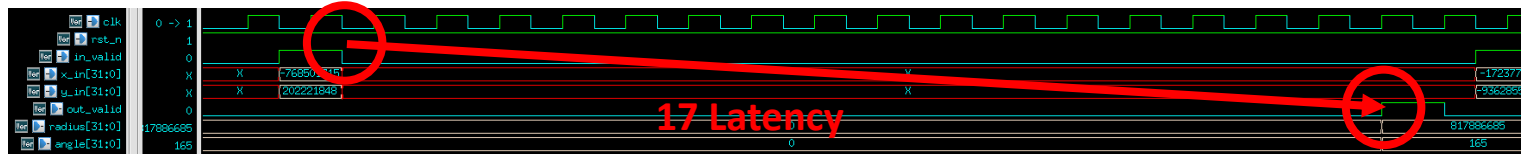


GATE

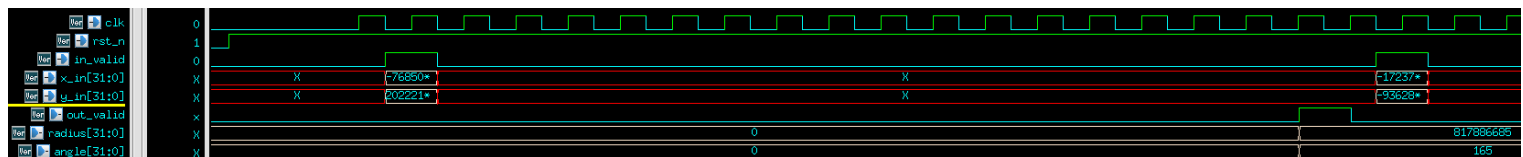


Total pat: 1000 Error\_rate\_radius: 0.000080 Error\_rate\_angle: 0.048929

RTL



GATE



Total pat: 1000 Error\_rate\_radius: 0.017685 Error\_rate\_angle: 0.017748

	Error_rate_radius	Error_rate_angle	Latency
Taylor CORDIC	0.000080	0.048929	7
CORDIC	0.017685	0.017748	17

## Timing & Power & Area (Taylor CORDIC V.S. CORDIC)

clock clk (rise edge)	50.00	50.00
clock network delay (ideal)	0.00	50.00
clock uncertainty	-0.10	49.90
y_reg[6][6]/CK (DFFRHQXL)	0.00	49.90 r
library setup time	-0.17	49.73
data required time		49.73
-----		
data required time		49.73
data arrival time		-45.49
-----		
slack (MET)		4.24

clock clk (rise edge)	0.00	0.00
clock network delay (ideal)	0.00	0.00
input external delay	25.00	25.00 f
in_valid (in)	0.00	25.00 f
U8175/Y (INVXL)	1.52	26.52 r
U8166/Y (INVXL)	1.41	27.93 f
U8167/Y (INVXL)	1.87	29.80 r
U7136/Y (INVXL)	0.97	30.77 f
U7133/Y (INVXL)	1.75	32.52 r
U7150/Y (INVXL)	1.41	33.93 f
U7138/Y (INVXL)	1.64	35.57 r
U7752/Y (AOI22XL)	0.19	35.76 f
U13407/Y (OAI2BB1XL)	0.20	35.97 r
x_reg[16][14]/D (DFFRHQXL)	0.00	35.97 r
data arrival time		35.97
-----		
clock clk (rise edge)	50.00	50.00
clock network delay (ideal)	0.00	50.00
clock uncertainty	-0.10	49.90
x_reg[16][14]/CK (DFFRHQXL)	0.00	49.90 r
library setup time	-0.16	49.74
data required time		49.74
-----		
data required time		49.74
data arrival time		-35.97
-----		
slack (MET)		13.77

Power Group	Internal Power	Switching Power	Leakage Power	Total Power ( % ) Attrs	Power Group	Internal Power	Switching Power	Leakage Power	Total Power ( % ) Attrs
io_pad	0.0000	0.0000	0.0000	0.0000 ( 0.00%)	io_pad	0.0000	0.0000	0.0000	0.0000 ( 0.00%)
memory	0.0000	0.0000	0.0000	0.0000 ( 0.00%)	memory	0.0000	0.0000	0.0000	0.0000 ( 0.00%)
black_box	0.0000	0.0000	0.0000	0.0000 ( 0.00%)	black_box	0.0000	0.0000	0.0000	0.0000 ( 0.00%)
clock_network	0.6715	0.0000	0.0000	0.0000 ( 0.00%) i	clock_network	2.3263	0.0000	0.0000	0.0000 ( 0.00%) i
register	3.8657e-02	9.3046e-03	2.1957e+06	0.7217 ( 74.58%)	register	0.1204	1.4622e-02	7.5930e+06	2.4689 ( 86.97%)
sequential	0.0000	0.0000	0.0000	0.0000 ( 0.00%)	sequential	0.0000	0.0000	0.0000	0.0000 ( 0.00%)
combinational	0.1707	6.5612e-02	9.6610e+06	0.2460 ( 25.42%)	combinational	0.1788	0.1676	2.3402e+07	0.3698 ( 13.03%)
-----					-----				
Total	0.8809 mW	7.4917e-02 mW	1.1857e+07 pW	0.9677 mW	Total	2.6254 mW	0.1822 mW	3.0995e+07 pW	2.8386 mW

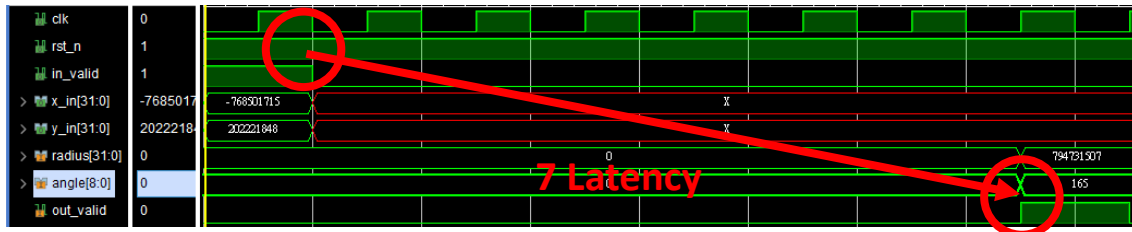
Number of ports:	109	Number of ports:	109
Number of nets:	5360	Number of nets:	15443
Number of cells:	4564	Number of cells:	13158
Number of combinational cells:	4134	Number of combinational cells:	11671
Number of sequential cells:	430	Number of sequential cells:	1487
Number of macros/black boxes:	0	Number of macros/black boxes:	0
Number of buf/inv:	412	Number of buf/inv:	1384
Number of references:	45	Number of references:	38
-----			
Combinational area:	102433.164048	Combinational area:	291063.333314
Buf/Inv area:	4128.062549	Buf/Inv area:	13814.539702
Noncombinational area:	30034.065872	Noncombinational area:	103873.493744
Macro/Black Box area:	0.000000	Macro/Black Box area:	0.000000
Net Interconnect area:	undefined (No wire load specified)	Net Interconnect area:	undefined (No wire load specified)
-----			
Total cell area:	132467.229920	Total cell area:	394936.827058

	Period(ns)	Power(mW)	Area( $\mu m^2$ )
Taylor CORDIC	50	0.9677	132467
CORDIC	50	2.8386	394936

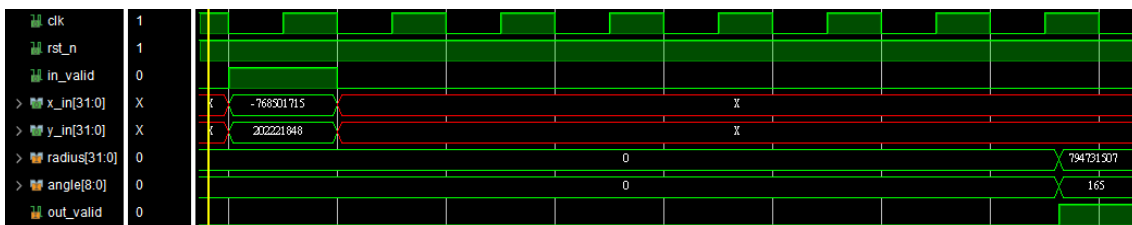
## 4. FPGA Implementation (Zedboard: Xilinx Zynq-7000)

### Simulation (Taylor CORDIC V.S. CORDIC)

RTL

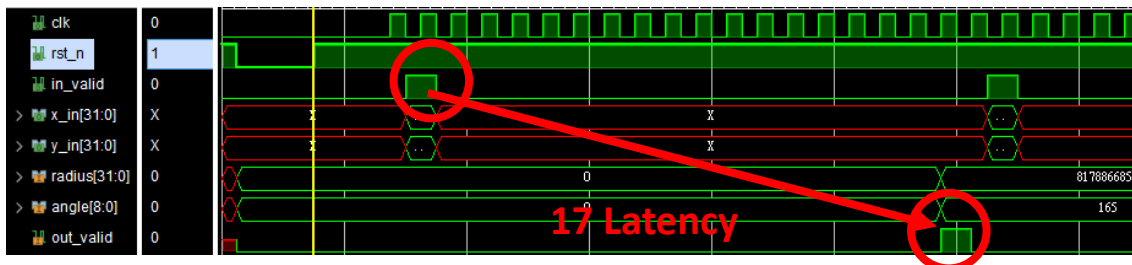


GATE

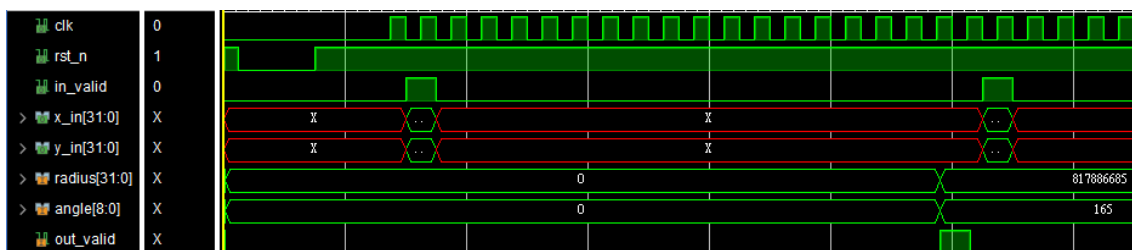


Total pat: 1000 Error\_rate\_radius: 0.000080 Error\_rate\_angle: 0.048929

RTL



GATE



Total pat: 1000 Error\_rate\_radius: 0.017685 Error\_rate\_angle: 0.017748

	Error_rate_radius	Error_rate_angle	Latency
Taylor CORDIC	0.000080	0.048929	7
CORDIC	0.017685	0.017748	17

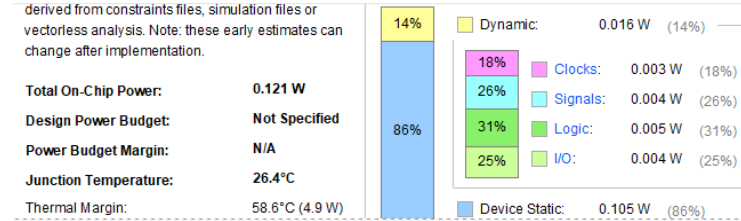
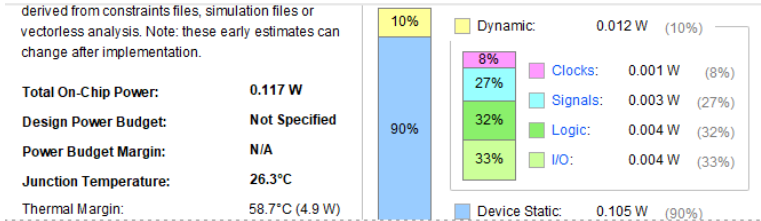
# Timing & Power & Area (Taylor CORDIC V.S. CORDIC)

Setup	Hold	Pulse Width
Worst Negative Slack (WNS): 18.824 ns	Worst Hold Slack (WHS): 0.137 ns	Worst Pulse Width Slack (WPWS): 24.500 ns
Total Negative Slack (TNS): 0.000 ns	Total Hold Slack (THS): 0.000 ns	Total Pulse Width Negative Slack (TPWS): 0.000 ns
Number of Failing Endpoints: 0	Number of Failing Endpoints: 0	Number of Failing Endpoints: 0
Total Number of Endpoints: 900	Total Number of Endpoints: 900	Total Number of Endpoints: 438

All user specified timing constraints are met.

Setup	Hold	Pulse Width
Worst Negative Slack (WNS): 22.464 ns	Worst Hold Slack (WHS): 0.137 ns	Worst Pulse Width Slack (WPWS): 24.500 ns
Total Negative Slack (TNS): 0.000 ns	Total Hold Slack (THS): 0.000 ns	Total Pulse Width Negative Slack (TPWS): 0.000 ns
Number of Failing Endpoints: 0	Number of Failing Endpoints: 0	Number of Failing Endpoints: 0
Total Number of Endpoints: 2994	Total Number of Endpoints: 2994	Total Number of Endpoints: 1503

All user specified timing constraints are met.



Name ^ 1	Slice LUTs (53200)	Slice Registers (106400)	Bonded IOB (200)	BUFGCTRL (32)
N R2P	1687	437	109	1

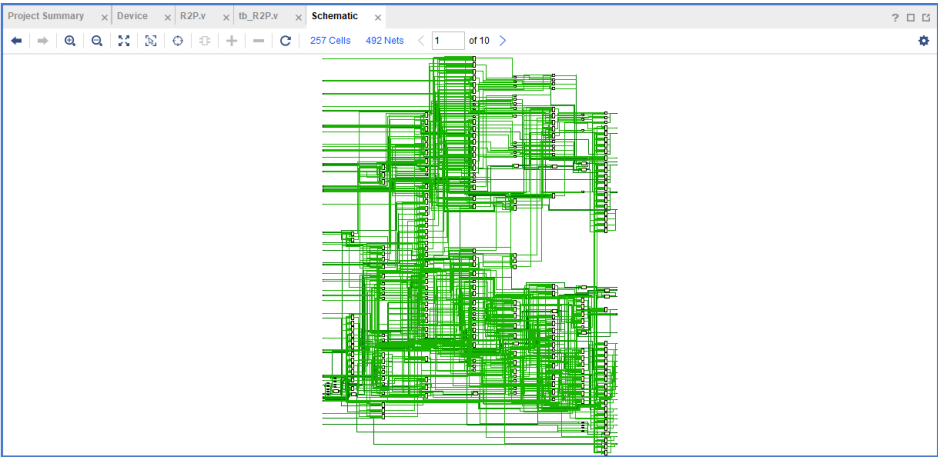
Name ^ 1	Slice LUTs (53200)	Slice Registers (106400)	Bonded IOB (200)	BUFGCTRL (32)
N R2P	2976	1502	109	1

	Period(ns)	Power(W)	Slice LUTs
Taylor CORDIC	50	0.117	1687
CORDIC	50	0.121	2976

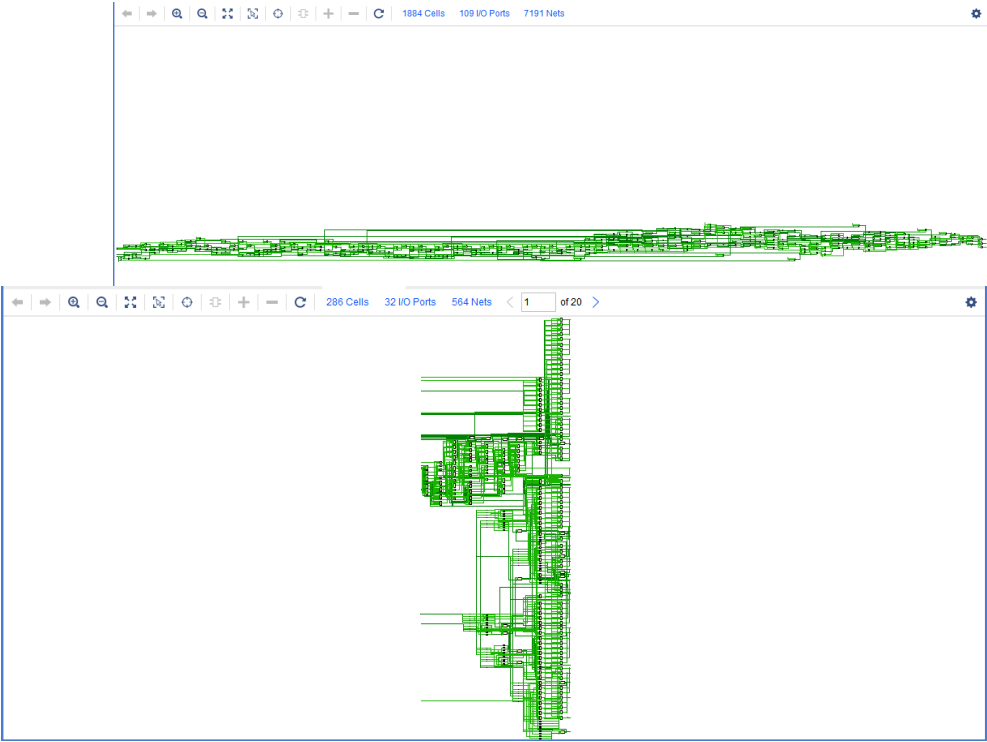
# RTL elaboration & Logic synthesis (Taylor CORDIC V.S. CORDIC)



Taylor CORDIC

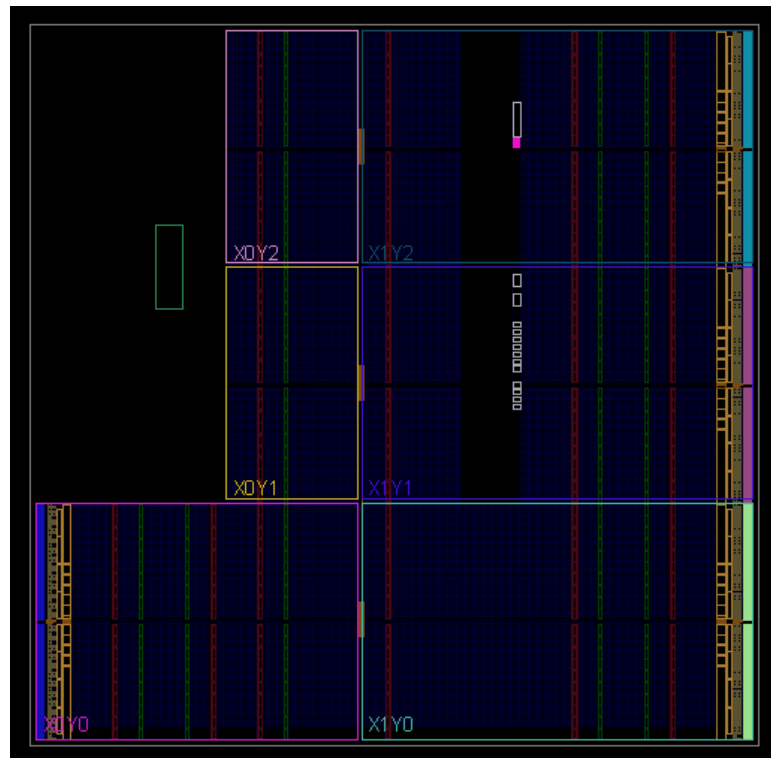


CORDIC

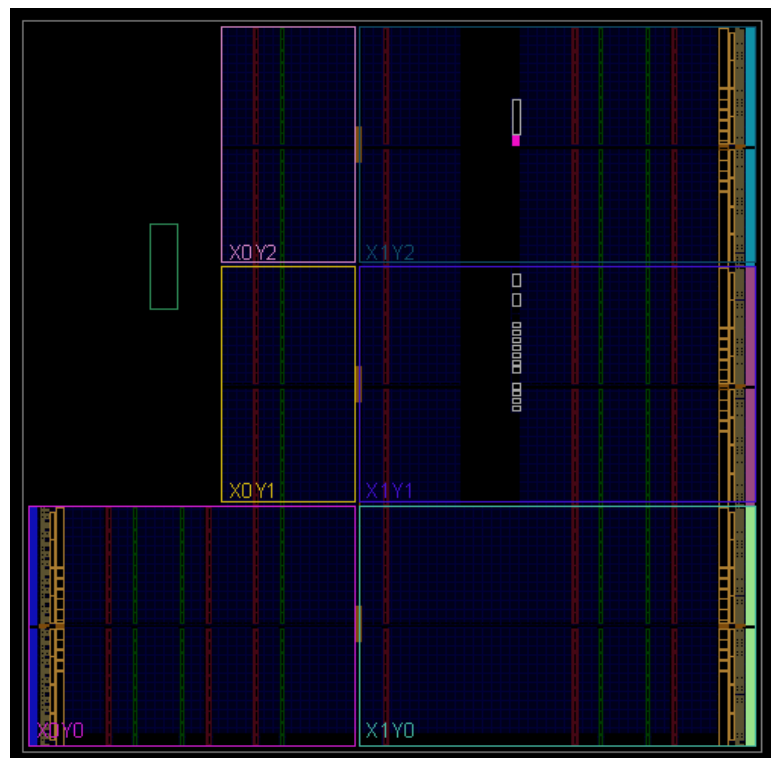


## Implementation (Taylor CORDIC V.S. CORDIC)

Taylor CORDIC



CORDIC





## 5. Conclusion

Taylor CORDIC 在每一級使用泰勒展開，只需要付出額外一些加法器電路便可在 low latency 得到 scaling-free 的長度，在最後一級甚至只加入一階展開即可得到誤差在小數點 5<sup>th</sup> bit 以下，雖然 critical path 相對傳統方法更長，但是可以使用特定加法器去彌補 timing issue，而傳統方法需要更多硬體補償回原長。在角度誤差方面，由於藉由泰勒展開加速收斂，角度相對傳統方法容易失真，所以在最後一級的地方用簡易的邏輯判斷來減少一點誤差。未來會朝角度誤差改善，在泰勒展開時，使用較精準的角度更新判斷，期望能設計出誤差小，latency 更低的電路。

## 6. Reference

S. S. Wadkar, B. P. Das and P. K. Meher, "Low Latency Scaling-Free Pipeline CORDIC Architecture Using Augmented Taylor Series," *2019 IEEE International Symposium on Smart Electronic Systems (iSES) (Formerly iNiS)*, Rourkela, India, 2019, pp. 312-315, doi: 10.1109/iSES47678.2019.00077.